

Filtre a contrario et raffinement sous-pixellique pour la chaîne stéréo

Neus Sabater, Pascal Monasse, Jean-Michel Morel

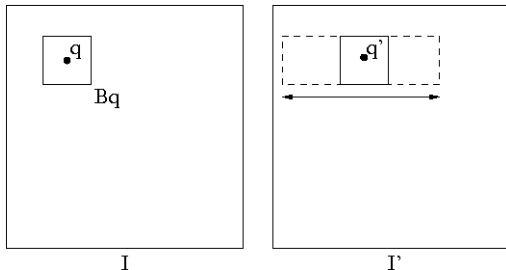
19 novembre 2010

Plan

- 1 Introduction
- 2 Élimination de fausses correspondances
 - Le match de blocs a contrario
 - Le filtre d'autosimilarité
- 3 Précision sous-pixellique
- 4 Projets

Stéréoscopie et mise en correspondance des images

- On suppose que les images ont préalablement été rectifiées.
- Le problème est ramené à une dimension : les points homologues se trouvent sur la même droite.



Approches pour la mise en correspondance

Approches globales : Minimisation d'une énergie de la forme

$$\min_d E_{\text{données}}(d) + \alpha E_{\text{régul}}(d).$$

- Graph-Cuts [Kolmogorov *et al.* 05]
- Programmation dynamique [Ohta et Kanade 85] [Wang *et al.* 06]

Avantages : Habituellement pas de phénomène d'adhérence, peu sensibles aux effets stroboscopiques, peu sensibles au bruit, résultats denses.

Inconvénient : Nécessite un modèle de régularité valable globalement dans toute l'image.

Approches pour la mise en correspondance

Approches locales :

- *Feature-matching* : mise en correspondance de segments [Schmid et Zisserman 00], lignes de niveau [Musé *et al.* 06], coins [Cao 04], descripteurs SIFT [Lowe 04] [Rabin *et al.* 08], etc. → résultats très épars.
- *Block-matching* : estimation de la disparité ε en chaque point \mathbf{x}_0 en minimisant

$$\mu(\mathbf{x}_0) = \arg \min_d C(\mathbf{x}_0, d)$$

où C est une fonction de coût (NCC, SAD, SSD) calculée en chaque voisinage de \mathbf{x}_0 .

Avantages : règles statistiques sur la **fiabilité** des appariements et la **précision** d'un appariement peut être caractérisée en fonction du bruit.

Inconvénient : Phénomène d'adhérence.

Exemple de block-matching sans filtrage

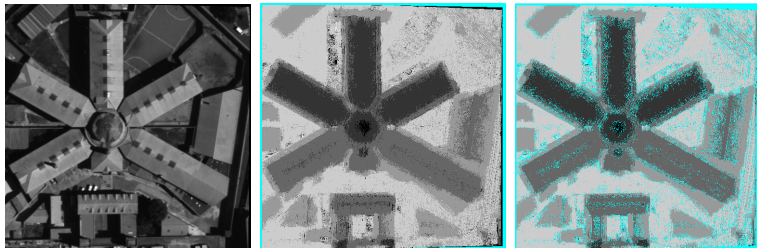


Image originale, carte de disparité, après filtrage des cas d'égalité

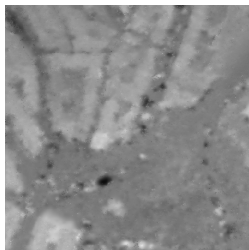
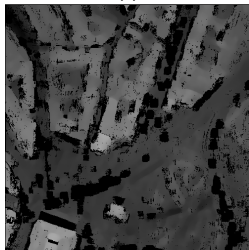
Problème de mouvement



(a)

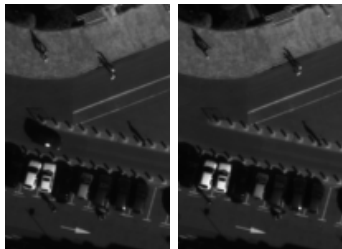


(b)



- (a) image gauche
- (b) image droite
- (c) disparité
- (d) masque
- (e) autre méthode

Problème de mouvement

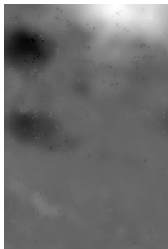


- (a) image gauche
- (b) image droite
- (c) disparité
- (d) masque
- (e) autre méthode

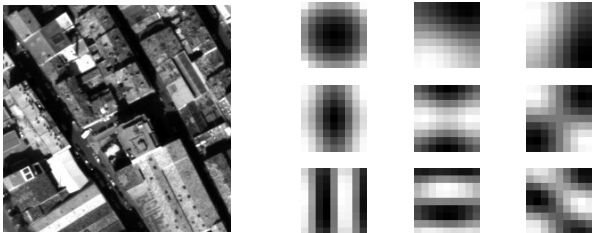
(a)



(b)



Modèle *a contrario* pour le Block-matching (AC)



Une image et les 9 premières composantes principales des patches 9×9 .

Modèle *a contrario* pour le block-matching (AC)

Définition : modèle *a contrario*

Le modèle *a contrario* associé à une image de référence I est un vecteur aléatoire $\mathbf{c}(\mathbf{q}) = (\mathbf{c}_1(\mathbf{q}), \dots, \mathbf{c}_N(\mathbf{q}))$ tel que

- $\forall \mathbf{q} \in I$, les composantes $\mathbf{c}_i(\mathbf{q})$, $i = 1, \dots, N$ sont des variables aléatoires indépendantes
- $\forall i$, la loi de $\mathbf{c}_i(\mathbf{q})$ est l'histogramme empirique de $\mathbf{c}_i(\cdot)$ pour l'image I .
- Une **Analyse en Composantes Principales** (ACP) assure que les coefficients $\mathbf{c}_i(\mathbf{q})$ et $\mathbf{c}_j(\mathbf{q})$ sont décorrélés pour $i \neq j \rightarrow$ première approximation d'indépendance
- Réduction de dimension : N premières composantes sont conservées.

Modèle *a contrario* pour le Block-matching (AC)

Définition : Nombre de fausses alarmes

Le nombre de fausses alarmes de l'événement "un bloc aléatoire $B_{q'}$ est aussi similaire à B_q que $B_{q'}$ l'est" se définit

$$NFA(B_q, B_{q'}) = N_{test} \cdot P_{qq'} ;$$

où N_{test} est le nombre de test réalisés et $P_{qq'}$ est la probabilité que $B_{q'}$ soit aussi similaire à B_q que $B_{q'}$ l'est.

Définition : correspondances significatives

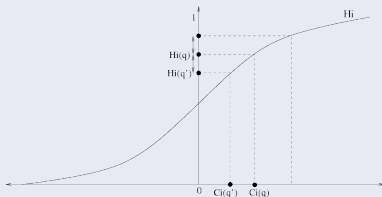
(q, q') est une correspondance ϵ -significative si $NFA(B_q, B_{q'}) \leq \epsilon$

Calcul de probabilités

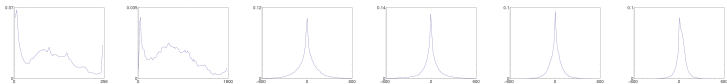
Définition : probabilités empiriques

Soit H_i l'histogramme cumulé de c_i . La probabilité empirique qu'un bloc $B_{\mathbf{q}'}$ soit similaire à $B_{\mathbf{q}}$ pour la composante i -ème est

$$\hat{\rho}_{\mathbf{q}\mathbf{q}'}^i = \begin{cases} H_i(\mathbf{q}') & \text{si } H_i(\mathbf{q}) < |H_i(\mathbf{q}) - H_i(\mathbf{q}')| \\ 1 - H_i(\mathbf{q}') & \text{si } 1 - H_i(\mathbf{q}) < |H_i(\mathbf{q}) - H_i(\mathbf{q}')| \\ 2 \cdot |H_i(\mathbf{q}) - H_i(\mathbf{q}')| & \text{autrement} \end{cases}$$

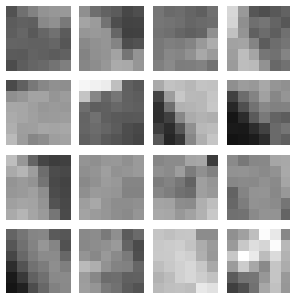


Histogrammes de quelques composantes

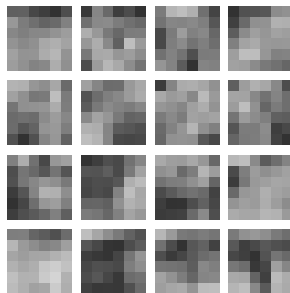


Histogramme de l'intensité de l'image et histogrammes des premières composantes

Validité des probabilités empiriques



(a)



(b)

- (a) Patches de l'image de référence, choisis au hasard.
- (b) Patches simulés suivant les lois empiriques

Calcul de la probabilité

- On veut que les k premières composantes aient une faible probabilité :

$$\hat{p}_{B_q B'}(k) = \max_{i=1\dots k} \hat{p}^i_{B_q B'}. \quad (1)$$

- On quantifie par une fonction π envoyant vers $\frac{1}{2^{Q-1}}, \dots, \frac{1}{2}, 1$:

$$\pi \left(\max_{i=1\dots k} \hat{p}^i_{B_q B'} \right) = \pi_j \quad (2)$$

- Si on les considère indépendantes, on obtient une probabilité

$$\pi_j^k \quad (3)$$

- Comme on ne sait pas combien de composantes considérer, on essaie plusieurs k et on retient le meilleur :

$$P_{\mathbf{q} \mathbf{q}'} = \min_{k=k_{\min} \dots k_{\max}} \pi \left(\max_{i=1\dots k} \hat{p}^i_{B_q B'} \right)^k \quad (4)$$

Nombre de tests

$$N_{test} = \#I \cdot \#S' \cdot Q \cdot (k_{max} - k_{min} + 1) \quad (5)$$

- $\#I$: nombre de pixels dans l'image I
- $\#S'$: nombre de translations testées
- Q : nombre de niveaux de quantifications des probabilités
- k_{min}, k_{max} : nombre min et max de composantes testées

Modèle *a contrario* pour le block-matching (AC)

Théorème 1

Soit

$$\mathbf{1}_{B_q, B_{q'}} = \begin{cases} 1, & \text{if } NFA(B_q, B_{q'}) \leq \epsilon; \\ 0, & \text{if } NFA(B_q, B_{q'}) > \epsilon. \end{cases}$$

et $\Gamma = \sum_{q, q'} \mathbf{1}_{B_q, B_{q'}}$ la variable aléatoire qui représente le nombre d'occurrences d'une correspondance ϵ -significative entre un bloc déterministe de la première image et un bloc aléatoire de la deuxième. Alors

$$\mathbb{E}[\Gamma] \leq \epsilon$$

Solution à l'effet stroboscopique

- Erreurs dues aux structures répétées dans les images.
- Solution : le **seuil d'autosimilarité** (adaptation du seuil SIFT)

AC+SA

Une correspondance $(\mathbf{q}, \mathbf{q}')$ est retenue si

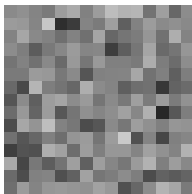
- $(\mathbf{q}, \mathbf{q}')$ est une correspondance significative ;
- $d(B_{\mathbf{q}}, B_{\mathbf{q}'}) < 0.6 \min\{d(B_{\mathbf{q}}, B_r) \mid r \in I \cap S(\mathbf{q})\}$,

où $S(\mathbf{q}) = [q_1 - R, q_1 + R] \setminus \{q_1 - 1, q_1, q_1 + 1\}$ avec

$\mathbf{q} = (q_1, q_2)$

et R la distance de recherche.

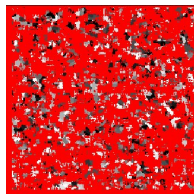
Besoin de AC + SA



(a) Image



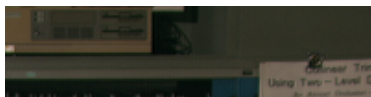
(b) AC



(c) SA

- (a) Image de bruit
- (b) Aucune correspondance validée par le test *a contrario*
- (c) Beaucoup de fausses correspondances acceptées par SA

Besoin de AC + SA



image



SA



AC

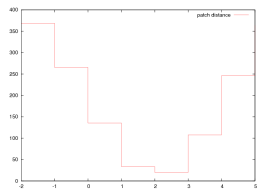
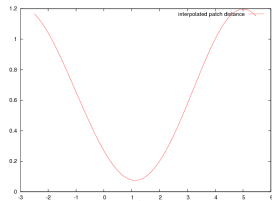
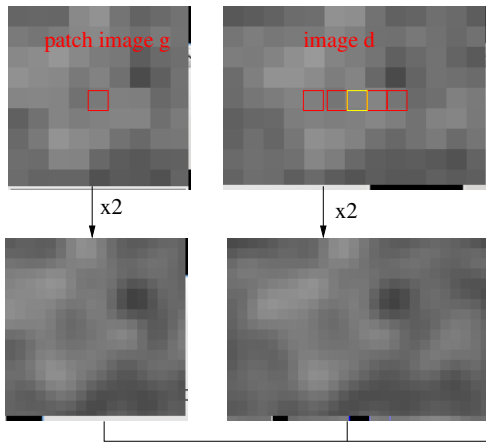


AC+SA

Disparité sous-pixellique

- Recherche sous-pixellique (1/64 pixel) du maximum de corrélation
- Très coûteux en temps et mémoire de faire un zoom $\times 64$ des images
- Zoom $\times 2$ des images et corrélations entières : la fonction corrélation $e : \mu \rightarrow \langle u_g(\cdot, \cdot + \mu), u_d \rangle$ est à Shannon si u_g et u_d le sont
- Zoom $\times 32$ de $e(\mu)$ pour trouver son maximum

Disparité sous-pixellique



Justification

- Discrete Fourier Transform (DFT) :

$$u(x, y) = \sum_{k, l \in \mathbb{Z}} \tilde{u}_{k, l} e^{\frac{2i\pi(kx+ly)}{a}}, \quad (6)$$

- The DFT is an isometry :

$$\int_{[0, a]^2} u(\mathbf{x}) \overline{v(\mathbf{x})} d\mathbf{x} = a^2 \sum_{k, l \in \mathbb{Z}} \tilde{u}_{k, l} \overline{\tilde{v}_{k, l}}. \quad (7)$$

- If u and v are N -degree trigonometric polynomials :

$$\int_{[0, a]^2} u(\mathbf{x}) \overline{v(\mathbf{x})} = a^2 \sum_{k, l = -N}^{N-1} \tilde{u}_{k, l} \overline{\tilde{v}_{k, l}} = \frac{a^2}{4N^2} \sum_{\mathbf{m} \in \mathbb{Z}_a^{\frac{1}{2}}} u(\mathbf{m}) \overline{v(\mathbf{m})}. \quad (8)$$

Justification

Recherche de la correspondance :

$$e_{\mathbf{x}_0}(\mu) := \int_{[0,a]^2} \varphi(\mathbf{x} - \mathbf{x}_0) (u_1(\mathbf{x}) - u_2(\mathbf{x} + (\mu, 0)))^2 d\mathbf{x}. \quad (9)$$

Proposition : Equality of the discrete and the continuous quadratic distance

Let $u_1(\mathbf{x})$ and $u_2(\mathbf{x})$ be two N -degree trigonometric polynomials on $[0, a]^2$ and let $\varphi(\mathbf{x})$ be a window function which we assume to be a $2N$ -degree trigonometric polynomial. Then

$$e_{\mathbf{x}_0}(\mu) = e_{\mathbf{x}_0}^d(\mu), \quad \text{where} \quad (10)$$

$$e_{\mathbf{x}_0}^d(\mu) := \frac{a^2}{4N^2} \sum_{\mathbf{m} \in \mathbb{Z}_2^{\frac{1}{2}}} \varphi(\mathbf{m} - \mathbf{x}_0) (u_1(\mathbf{m}) - u_2(\mathbf{m} + (\mu, 0)))^2. \quad (11)$$

Justification

Proposition : Sub-pixel correlation requires $\times 2$ zoom

Let $u_1(\mathbf{x})$ and $u_2(\mathbf{x})$ be two N -degree trigonometric polynomials. Then the quadratic distance $e_{\mathbf{x}_0}^d(\mu)$ is well-sampled provided it has at least $2N$ successive samples. Thus the computation of $e_{\mathbf{x}_0}^d(\mu)$ at half samples $\mu \in \frac{a\mathbb{Z}}{2}$ (via zero-padding) allows the exact reconstruction of $e_{\mathbf{x}_0}^d(\mu)$ for any real μ by DFT interpolation.

Projet 1 : implémentation de divers filtres dans IPOL

- D. Scharstein and R. Szeliski. *A taxonomy and evaluation of dense two-frame stereo correspondence algorithms*. International Journal of Computer Vision, 47(1/2/3) :7-42, April-June 2002.
- compatibilité gauche→droite et droite→gauche
- le min-filter : la fenêtre n'est pas forcément centrée
- autres filtres...

Projet 2 : algorithme RAFA

- Enlève le problème d'adhérence (fattening) en-dehors des discontinuités.
- Solution : SSD avec chaque pixel pondéré par le carré de la dérivée suivant x